



زمین‌دماسنگی پهنه‌های اسکارنی ناهنجاری کانسار دردی، منطقه معدنی آهن سنگان

مجید قاسمی سیانی^{*}، بهزاد مهرابی

گروه زمین شیمی، دانشکده علوم زمین، دانشگاه خوارزمی، ایران

(دریافت مقاله: ۹۷/۱۲/۲۰، نسخه نهایی: ۹۸/۴/۱۲)

چکیده: کانسار اسکارن آهن دردی در بخش مرکزی منطقه معدنی سنگان در شمال شرق ایران واقع شده است. در این پژوهش، دمای تشکیل پهنه‌های اسکارنی آن با استفاده از برخی زمین‌دماسنگ‌ها برآورد شده است. مهمترین کانی‌های دگرگونی در پهنه‌های اسکارنی پیشرونده و پسرونده شامل گارنت، کلینوپیروکسن، ترمولیت-اکتینولیت، آمفیبول، کلریت، اپیدوت، فلدسپار، فلوگوییت و دولومیت هستند. زمین‌دماسنگ دوفلدسپار نشان داد که پهنه درون اسکارن در گرانیت سرنوسر در دماهای بین ۶۳۵ تا ۷۲۵ درجه سانتیگراد تشکیل شده که با دماهای بدست آمده از میانبارهای سیال همخوانی ندارد. بر اساس زمین‌دماسنگ گارنت-کلینوپیروکسن، دماهای ۳۰۰ تا ۵۰۵ درجه سانتیگراد برای دگرگونی اسکارن پیشرونده بدست آمد. زمین‌دماسنگ کلریت و آمفیبول کلسیمی در پهنه پسرونده به ترتیب دماهای تشکیل بین ۲۰۰ تا ۲۹۰ و ۳۰۰ درجه سانتیگراد را نشان داد. نتایج زمین‌دماسنگ پهنه‌های اسکارنی پیشرونده و پسرونده با نتایج سیال‌های درگیر همخوانی دارند. دماهای بدست آمده از میانبارهای سیال و زمین‌دماسنگ پهنه‌های اسکارن پیشرونده و پسرونده نشان داد که دماهای تشکیل اسکارن دگرگونی مجاورتی کمتر از ۶۰ درجه سانتیگراد است که با رخساره دگرگونی هورنبلیند-هورنفلس همخوانی دارد.

واژه‌های کلیدی: منطقه معدنی آهن سنگان؛ ناهنجاری دردی؛ زمین‌دماسنگی؛ پهنه‌های اسکارن؛ سرنوسر.

سنگان انجام شده که بیشتر شامل بررسی سنگنگاری و کانی-شناسی پهنه‌های اسکارنی، شیمی کانی‌های اسکارنی و سن-سنگی توده نفوذی سرنوسر و ویژگی‌های زمین شیمیایی آن و ارتباط آن با کانی‌سازی اسکارن است [۱۷-۳]. تاکنون پژوهشی برای تعیین دما در ناهنجاری‌های پهنه‌های اسکارن با استفاده از شیمی کانی‌های سیلیکاتی سنگان انجام نشده است. دما-سنگی به روش‌های بررسی میانبارهای سیال و بررسی تغییرات ترکیب شیمیایی برخی از کانی‌های ویژه و یا زوج کانی‌های در شرایط تعادلی با هم امکان‌پذیر است [۱۸]. زمین‌دماسنگی و زمین‌فشارسنگی‌هایی بر اساس حساسیت توزیع عناصر در ساختار کانی‌ها یا طی تبادلات شیمیایی واپسیه به دما و یا فشار طراحی شده‌اند [۱۸]. در کانسارهای اسکارنی، با کانی‌های متعدد سیلیکاتی بی‌آب و آبدار در پهنه‌های دگرسانی پسرونده

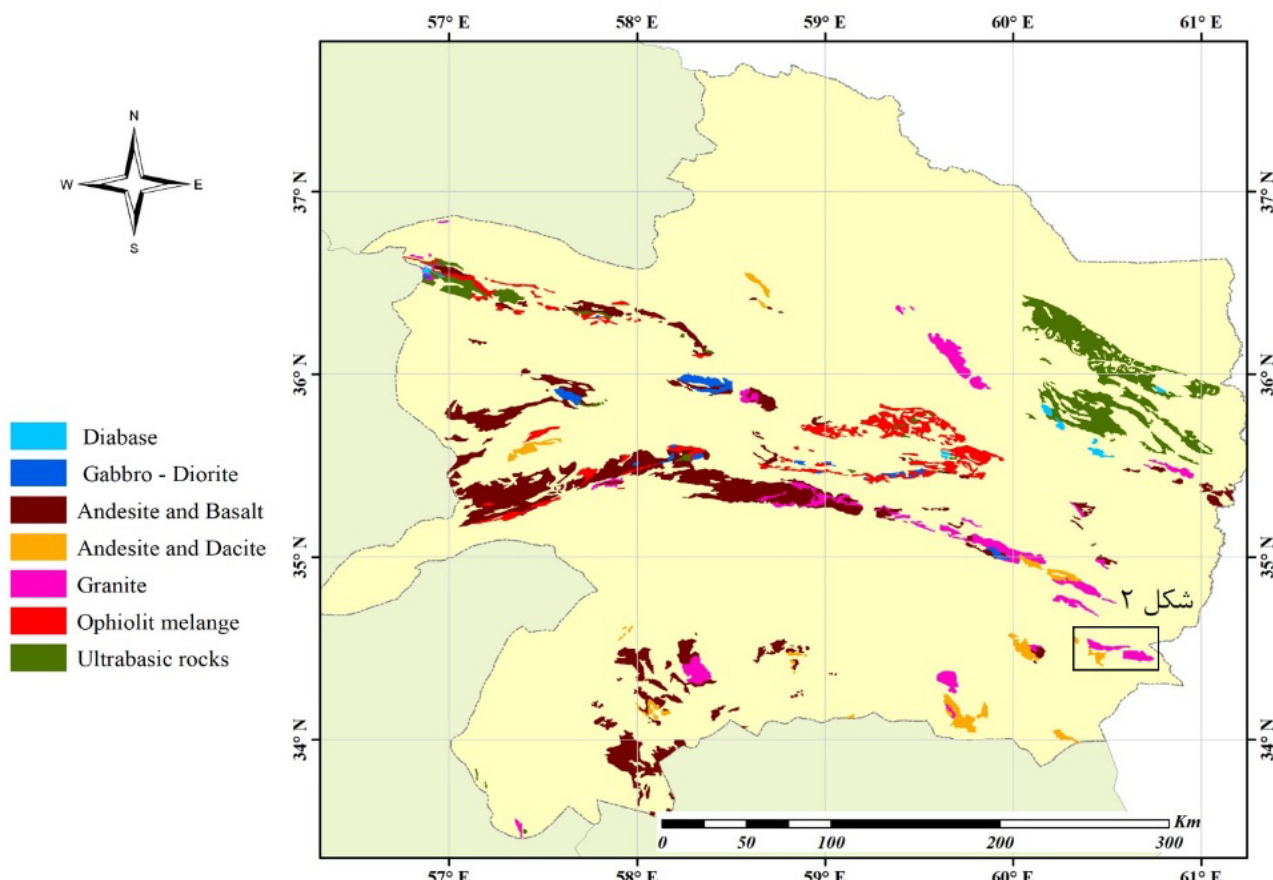
مقدمه

منطقه معدنی سنگان در جنوب‌شرقی استان خراسان رضوی و در کمریند آتشفسانی-نفوذی خوف-کاشمر-بردسکن قرار دارد (شکل ۱) [۱]. مجموعه معادن سنگان در راستای گسل درونه و در مز توده نفوذی سرنوسر با راستای شرقی-غربی تشکیل شده و شامل کانسارهای غربی (BK) و شرقی (FZ)، C جنوبی، A'، A، B (شمالی)، C جنوبی (D) و باگک (SD) است (شکل ۲) [۲]. با توجه به مز توده نفوذی سرنوسر با سنگ‌های آهکی و دولومیتی ژوراسیک-کرتاسه، پهنه‌های اسکارنی همراه با کانی‌سازی آهن به طور گسترده در راستای شرقی-غربی تشکیل شده‌اند (شکل ۲). پژوهش‌های بسیاری پیرامون ناهنجاری‌های کانسارهای مجموعه معادن

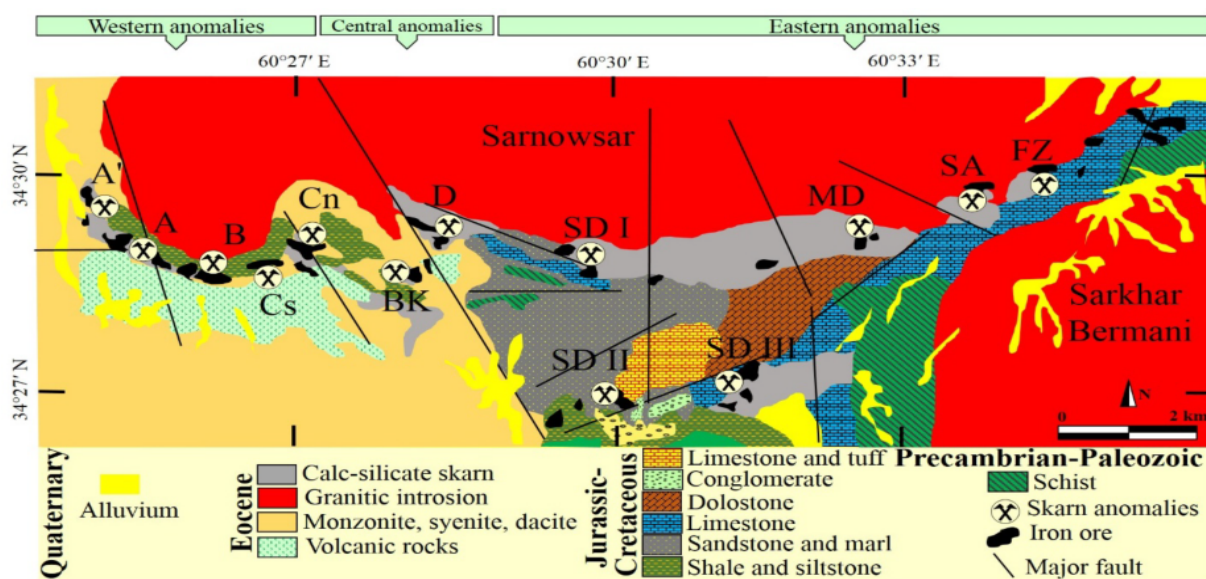
زمین‌شناسی و کانه‌زایی

بررسی‌های کریم‌پور و همکاران [۱] نشان می‌دهد که منطقه معدنی سنگان جزئی از کمربند آتشفسانی-نفوذی خواف-کاشمر-بردسکن بوده که با روند شرقی-غربی در شمال گسل درونه قرار گرفته است (شکل ۱). این کمربند بیشتر از سنگ‌های آتشفسانی اسیدی تا حد واسط و توده‌های نفوذی گرانیتوئیدی با ترکیبی از فلدسپار قلیایی گرانیت (سی‌نیت و سی‌ینوگرانیت)، گرانیت، گرانودیوریت، کوارتزمنزونیت و دیوریت تشکیل شده است. توده گرانیتی سرنوسر در راستای شرقی-غربی، نقش مهمی در کانی‌سازی اسکارن آهن در منطقه سنگان و به ویژه کانسار آهن دردودی داشته است (شکل ۲). قدیمی‌ترین سنگ‌های منطقه سنگان نیز بیشتر شامل سنگ‌های آتشفسانی-رسوبی و رسوبی (از قبیل توف، آگلومرا، ریولیت، چرت، شیل‌های سیلیسی و آهک) وابسته به پرکامبرین (پروتوروزوئیک پسین) بوده که دستخوش دگرگونی منطقه‌ای درجه کم، از نوع شیست سبز شده‌اند (شکل ۲).

و پیشرونده امکان تعیین شرایط دما وجود دارد. تاکنون، زمین-دماسنجی ویژه‌ای برای پهنه‌های اسکارنی سنگان ارائه نشده است، از این‌رو، در این پژوهش، از روش‌های مرسوم زمین-دماسنجی کانی‌های سیلیکاته استفاده و نتایج تفسیر شد. متداولترین زمین‌دماسنجی برای پهنه‌های اسکارنی برپایه زوج کانی گارنت-کلینوپیروکسن است [۲۰، ۱۹] که در این پژوهش از آن برای تعیین دمای پهنه اسکارنی پیشرونده استفاده شد. برای پهنه پسروند نیز از کانی‌های کلریت و آمفیبول نوع کلسیمی که به عنوان زمین‌دماسنجی در پژوهش‌های بسیاری بکار گرفته شده‌اند، استفاده شد. از زمین‌دماسنج کانی‌های فلدسپار گرانیت سرنوسر برای پهنه درون‌اسکارن استفاده شد. پژوهش‌های مشابهی برای تعیین دما به روش‌های زمین-دماسنجی کانی‌های در سایر مناطق ایران انجام شده است [۲۱-۲۸]. در پایان، دمای‌های بدست آمده از زوج کانی‌ها با دمای‌های میانبارهای سیال گزارش شده [۱۵] مقایسه شد.



شکل ۱ نقشه زمین‌شناسی استان خراسان رضوی (برگرفته از نقشه زمین‌شناسی ۱/۱۰۰۰۰۰ ایران [۱]) که در آن منطقه معدنی سنگان در جنوب‌شرقی استان خراسان رضوی واقع است. در این نقشه تنها واحدهای آتشفسانی-نفوذی نشان داده شده‌اند.



شکل ۲ نقشه زمین‌شناسی ساده شده منطقه معدنی سنگان بر اساس نقشه ۱/۲۵۰۰۰۰ تایید [۲]. جایگاه کانسارهای مختلف در روند غربی-شرقی نشان داده شده است.

و کربنات‌های کلسیت، دولومیت و سیدریت تشکیل شده است. کانی‌سازی و شیمی کانی‌های سیلیکاتی به تفصیل توسط قاسمی سیانی و مهرابی [۱۴] بررسی شده است.

روش بررسی

بررسی‌های میکروسکوپی روی ۶۰ مقطع نازک صیقلی و نازک از پهنه‌های اسکارن پیشرونده و پسرونده کانسار اسکارنی دردی در دانشگاه خوارزمی و مرکز تحقیقات فرآوری مواد معدنی ایران انجام شد. بررسی‌های تکمیلی‌تر بر نقاط مشخص شده در مرحله بررسی میکروسکوپی، با میکروسکوپ الکترونی روبشی (SEM) مدل FEI Quanta 650 FEG-ESEM (SEM) در دانشگاه لیدز انگلیس انجام شد. نقاط مشخص شده در بررسی SEM، به روش ریزپردازش الکترونی (EPMA) در مرکز تحقیقات فرآوری مواد معدنی ایران بهوسیله دستگاه مدل CAMECA SX 100 و دانشگاه لیدز انگلیس با دستگاه مدل JEOL JXA8230 با شرایط ۲۰ کیلو ولت و ۲۰ نانوآمپر و با قطر پرتو یک تا ۵ میکرون تجزیه شدند.

بررسی‌های صحرایی و کانی‌شناسی پهنه‌های اسکارنی پهنه‌های اسکارنی در کانسار دردی به صورت درون‌اسکارن و برون‌اسکارن گسترش خوبی دارند. پهنه‌های اسکارنی با تغییرات کانی‌شناسی و رنگ سبز تا خاکستری تیره و قهوه‌ای قابل تشخیص بوده و اغلب دارای ساخت توده‌ای هستند. کانی‌های سیلیکات آهکی آبدار و بدون آب همراه با کانی‌های اکسیدی و سولفیدی تشکیل دهنده پهنه‌های اسکارنی در

در مرز گرانیت سرنوسر (به سن ۳۹ میلیون سال، [۱۳،۴]) با سنگ‌های کربناتی، دگرگونی مجاورتی از نوع اسکارن و سیلیکات آهکی هورنفلس (اسکارنوئید) رخ داده است و سنگ‌های کربناتی منطقه اغلب به اسکارن و مرمر دگرگون شده‌اند [۵]. پهنه‌های اسکارنی در سراسر منطقه سنگان رخمنون دارند و از غرب تا شرق دارای ترتیب متواتی هستند. مهمترین پهنه‌های اسکارنی شامل گارنت اسکارن، پیروکسن اسکارن، فلوگوپیت اسکارن، اکتینولیت اسکارن و کلریت اسکارن هستند. کانی‌سازی دردی در بخش مرکزی منطقه معدنی سنگان واقع است که پهنه‌های اسکارنی پیشرونده مثل پیروکسن اسکارن، پیروکسن-گارنت اسکارن و گارنت اسکارن و پهنه‌های اسکارنی پسرونده بیشتر شامل کانی‌های کلریت، اپیدوت، فلوگوپیت و اکتینولیت در آن دیده می‌شود [۱۴]. کانی‌سازی مگنتیت در سنگ‌آهک منیزیم‌دار با ساخت و بافت‌های توده‌ای، عدسی‌شکل، پراکنده، پرکنده فضای خالی، پورفیروبلاستیک و کاتاکلاستیک تشکیل شده است. تأثیر دگرنهادی و دگرگونی مجاورتی در تماس با گرانیت سرنوسر قابل مشاهده است. کانسار اسکارن دردی دارای کانی‌شناسی پیچیده‌ای بوده و از سیلیکات‌های گارنت، کلینوپیروکسن، اسکاپولیت، هورنبلند، اپیدوت، اکتینولیت-ترمولیت، کلریت، کوارتز، فلدسپار، زیرکن، مسکوویت، کانی‌های رسی، کانه‌های سولفیدی مانند پیریت، پیروتیت، کالکوپیریت، مارکاسیت، اکسید و هیدروکسیدهای مگنتیت، هماتیت، گوتیت، لیمونیت

سربنوسر تشکیل شده و از پهنه اکتینولیت همراه با پیروتیت، پیریت و کانی‌های سولفیدی شامل مس با ضخامتی تا ۳۰ متر به رنگ سبز تا خاکستری در فاصله نزدیکتر و پهنه اسکارنی اپیدوت-کلریت-فلوگوپیت با رنگ سبز با ضخامت ۲۰ تا ۲۵ متر تشکیل شده است (شکل ۳ ت). اکتینولیت و به مقدار کمتر ترمولیت با بلورهایی تا ده سانتیمتر در پهنه‌های اسکارنی پسرورونده دیده می‌شود (شکل‌های ۴ ب و پ). کلریت، اپیدوت و فلوگوپیت ریز تا درشت بلور رنگ سبز به این پهنه اسکارنی داده است (شکل‌های ۵ ب و پ). فراوانی فلوگوپیت با فاصله از توده نفوذی سربنوسر بیشتر شده، به‌طوری که در کانسار باعک به بیشترین مقدار خود رسیده است. در پهنه اسکارن پسرورونده، اندازه بلورهای کلسیت درشت‌تر و از مقدار کلسیت کاسته شده است که در نتیجه کانی‌های سیلیکاتی آبدار مثل اپیدوت، کلریت و فلوگوپیت ریز بلور تشکیل شده‌اند.

دردوی هستند. پهنه درون اسکارن با ضخامت یک تا ۱۰ متر درون توده نفوذی سربنوسر رخ داده و براساس کانی شناسی و رنگ قابل شناسایی است (شکل ۳ الف). پهنه برون اسکارن بسیار گستردگر است و پهنه‌بندی مشخصی را نشان می‌دهد. پهنه اسکارن پیش‌روندۀ از زیر پهنه‌های کلینوپیروکسن اسکارن و گارنت اسکارن تشکیل شده است که به ترتیب بارنگ سبز و قهقهه‌ای قابل تشخیص‌اند (شکل‌های ۳ ب و پ). پهنه اسکارنی پیش‌روندۀ درست در مرز توده سینوگرانیتی پورفیری سربنوسر تشکیل شده است و ضخامت آن در مواردی به ۱۵ تا ۲۰ متر نیز می‌رسد (شکل ۳ پ). بلورهای درشت گارنت در نمونه‌های دستی پهنه گارنت اسکارن به رنگ‌های قهقهه‌ای (آندرادیت) تا قهقهه‌ای مایل به سبز (گروسولار) دیده می‌شوند (شکل‌های ۴ الف و ۵ الف). فراوانی آندرادیت بیشتر از گروسولار است. پهنه اسکارنی پسرورونده در فاصله دورتر نسبت به توده نفوذی



شکل ۳ تصاویر صحرایی از پهنه‌های اسکارنی: (الف) پهنه درون اسکارن در توده نفوذی سربنوسر (جهت دید به سمت شرق)، ب و پ) پهنه پیروکسن اسکارن و گارنت اسکارن در تماس با توده نفوذی سربنوسر (جهت دید به سمت شمال) و (ت) پهنه برون اسکارن در نزدیکی سنگ آهک.



شکل ۴ الف) درشت‌بلورهای آندرادیت (قهوه‌ای رنگ) و گروسولار (سبزرنگ) در اسکارن پیشروندۀ (پهنه گارنت اسکارن)، ب و پ) درشت‌بلورهای خودشکل اکتینولیت در اسکارن پیشروندۀ.



شکل ۵ الف) همبری پهنه پیروکسن اسکارن و گارنت اسکارن در اسکارن پیشروندۀ، ب) کلریت و اپیدوت و پ) فلوگوپیت در اسکارن پیشروندۀ.

گارنت، پلاژیوکلاز، کوارتز، ترمولیت-اکتینولیت، اپیدوت، کلریت و کلسیت کانی‌های تشکیل دهنده پهنه درون اسکارن و کلینوپیروکسن و گارنت مهمترین کانی‌های پهنه اسکارنی

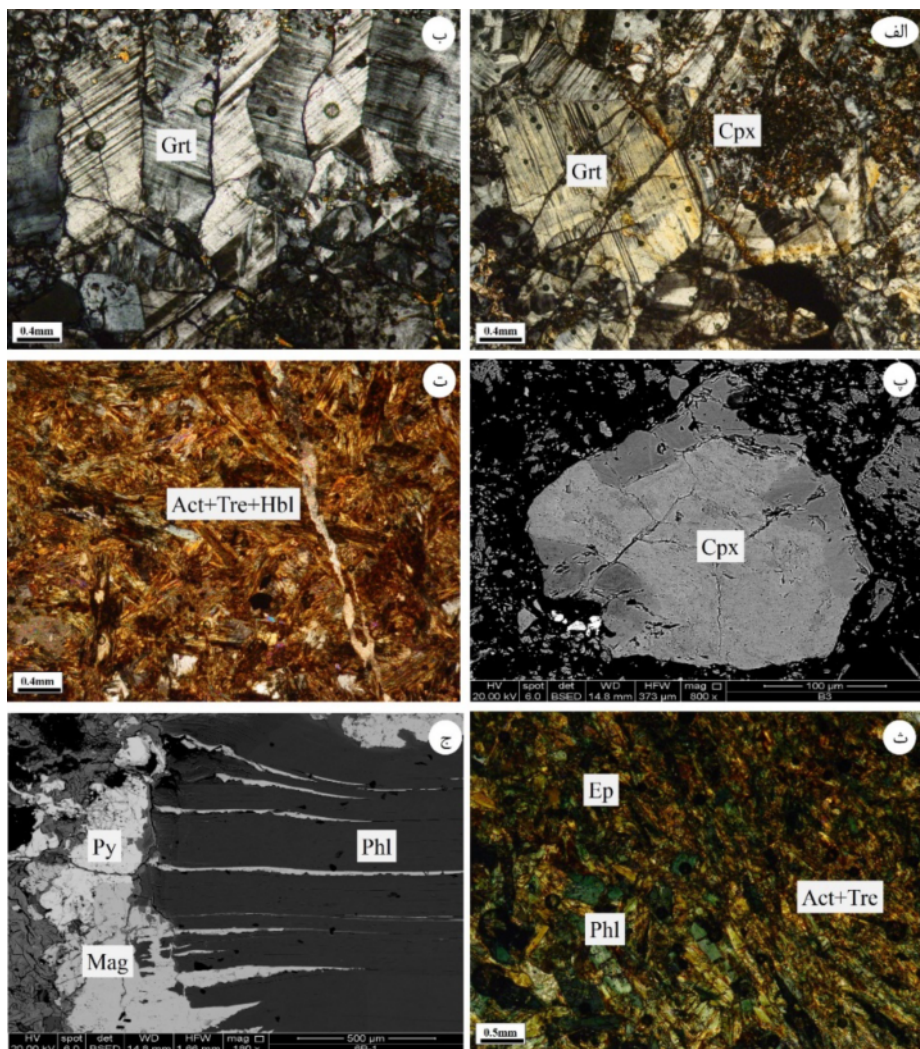
کانی‌شناسی و شیمی کانی‌های پهنه‌های اسکارنی به تفصیل توسط قاسمی سیانی و مهرابی [۱۴] بررسی شده و در این بخش به طور خلاصه بیان شده است. کانی‌های مگنتیت،

دردوى در گستره‌ى اكتينوليت-ترموليت، هورنبلند غنى از منيزيوم، پارگازيت و هاستينگزيت غنى از منيزيوم قرار دارند.

زمین‌دما‌سنجی

برای زمین‌دما‌سنجی پلاژيوکلاز-فلدسبار قلياچي (دوفلدسبار) از داده‌های ده تجزيه نقطه‌اي پلاژيوکلاز و فلدسبار قلياچي در پهنه درون اسکارن استفاده شد (جدول ۱). برای تعیین دما‌ى تشکيل گرانات از واسنجي‌های مراجع [۳۰-۳۲] استفاده شد که در گستره فشار کمتر از ۴ کيلوبار دما‌ى تشکيل گرانات سرنوسر حدود ۶۳۵ تا ۷۲۵ درجه سانتيگراد بدست آمد (جدول ۱).

پيشروند هستند (شکل‌های ۶ الف و ب) [۲۹]. بلورهای درشت گارنت، دارای ميانبارهای از كلينوپيروكسن هستند که نشان می‌دهد که گارنت همزمان و پس از كلينوپيروكسن تشکيل شده است (شکل ۶ الف و ب). تشکيل كلينوپيروكسن پيش از گارنت در شواهد صحرايي نيز مشخص است و درست در مرز توده نفوذی پهنه كلينوپيروكسن با رنگ سبز قابل تشخيص است (شکل‌های ۶ ب و پ). مرحله پسروند با کانی‌های اپيدوت، فلوگوپيت، ترموليت-اكتينوليت، کوارتز، اسکاپوليت، هورنبلند و مقدار کم گارنت و كلينوپيروكسن شناخته شده است (شکل‌های ۶ ت تا ج). تركيب آمفيبول‌ها در اسکارن



شکل ۶ تصاویر ميكروسكopic نوري و الکتروني از کانی‌های سيلیکاتی آبدار و بدون آب اسکارن دردوى: (الف) بلور گارنت (Grt) که بلور كلينوپيروكسن (Cpx) را در برگرفته و نشان می‌دهد که گارنت پس از پيروكسن تشکيل شده است (نور عبوری قطبی)، (ب) بلورهای خودشكيل گارنت در پهنه گارنت اسکارن (نور عبوری قطبی)، (پ) بلور كلينوپيروكسن دارای پهنه‌بندي، (ت و ث) کانی‌های اكتينوليت (Act)، فلوگوپيت (Phl)، ترموليت (Tre)، اپيدوت (Ep) و هورنبلند (Hbl) در پهنه اسکارن پسرونده (نور عبوری قطبی) و (ج) بلورهای خودشكيل کشیده فلوگوپيت که همراه با مگنتيت (Mag) تشکيل شده‌اند. عاليم اختصاری کانی‌ها بر گرفته از مرجع [۲۹] است.

جدول ۱ نتایج تجزیه ریزپردازشی الکترون پلازیوکلار و فلدسپار قلیایی در پهنه درون اسکارن کانسار اسکارن دردی (فرمول ساختاری بر اساس ۸ اتم اکسیژن محاسبه شده است).

	۱	۲	۳	۴	۵	۶	۷	۸	۹	۱۰
SiO_2	۶۴,۷۲	۶۴,۶۷	۶۵,۰۹	۶۳,۹۶	۶۴,۹۳	۶۴,۶۴	۶۶,۰۳	۶۱,۹۸	۶۴,۷۴	۶۲,۷۳
TiO_2	۰,۰۲	۰,۰۸	۰,۰۶	۰,۱۶	۰,۰۶	۰,۱۵	۰,۰۷	۰,۱۵	۰,۰۵	۰,۱۹
Al_2O_3	۲۳,۶۰	۱۹,۲۰	۲۲,۱۹	۱۹,۳۷	۲۲,۵۰	۱۹,۵۸	۲۲,۴۷	۱۹,۵۹	۲۳,۲۰	۱۹,۴۶
Fe_2O_3	۰,۰۹	۰,۲۹	۰,۳۵	۰,۳۴	۰,۲۸	۰,۲۲	۰,۴۹	۰,۳۴	۰,۱۲	۰,۴۰
MnO	۰,۰۱	۰,۰۳	۰,۰۲	۰,۰۱	۰,۰۳	۰,۰۲	۰,۰۰	۰,۰۰	۰,۰۰	۰,۰۰
MgO	۰,۰۰	۰,۰۱	۰,۰۲	۰,۰۱	۰,۰۶	۰,۰۱	۰,۰۲	۰,۰۲	۰,۰۳	۰,۰۰
CaO	۰,۳۶	۰,۵۳	۰,۰۷	۰,۸۶	۰,۰۸	۰,۶۸	۰,۱۲	۰,۸۸	۰,۲۰	۰,۸۷
Na_2O	۱۰,۳۰	۴,۷۸	۱۰,۰۰	۵,۰۱	۹,۸۴	۴,۵۶	۹,۶۷	۴,۶۹	۱۰,۰۰	۵,۱۵
K_2O	۰,۳۸	۱۰,۱۵	۰,۳۸	۹,۵۶	۰,۴۵	۹,۱۵	۰,۳۷	۱۱,۶۴	۰,۳۳	۱۰,۲۰
مجموع	۹۹,۴۸	۹۹,۷۴	۹۹,۲۰	۹۹,۲۸	۹۹,۲۸	۹۹,۱۱	۹۹,۲۰	۹۹,۲۹	۹۸,۶۷	۹۹,۰۰
Si	۲,۷۱	۲,۹۵	۲,۷۸	۲,۹۳	۲,۷۵	۲,۹۴	۲,۸۱	۲,۹۱	۲,۷۴	۲,۹۴
Ti	۰,۰۰	۰,۰۰	۰,۰۰	۰,۰۰	۰,۰۰	۰,۰۰	۰,۰۰	۰,۰۰	۰,۰۰	۰,۰۰
Al	۱,۳۸	۱,۰۳	۱,۳۶	۱,۰۴	۱,۳۷	۱,۰۵	۱,۳۳	۱,۰۸	۱,۳۶	۱,۰۴
Fe^{3+}	۰,۰۰	۰,۰۱	۰,۰۱	۰,۰۱	۰,۰۱	۰,۰۱	۰,۰۱	۰,۰۱	۰,۰۰	۰,۰۱
Mn	۰,۰۰	۰,۰۰	۰,۰۰	۰,۰۰	۰,۰۰	۰,۰۰	۰,۰۰	۰,۰۰	۰,۰۰	۰,۰۰
Mg	۰,۰۰	۰,۰۰	۰,۰۰	۰,۰۰	۰,۰۰	۰,۰۰	۰,۰۰	۰,۰۰	۰,۰۰	۰,۰۰
Ca	۰,۰۱	۰,۰۲	۰,۰۰	۰,۰۴	۰,۰۰	۰,۰۳	۰,۰۰	۰,۰۴	۰,۰۱	۰,۰۴
Na	۰,۹۰	۰,۴۲	۰,۶۹	۰,۴۴	۰,۷۸	۰,۴۰	۰,۶۲	۰,۴۲	۰,۸۶	۰,۴۵
K	۰,۰۲	۰,۵۵	۰,۰۲	۰,۵۱	۰,۰۲	۰,۵۲	۰,۰۲	۰,۵۱	۰,۰۲	۰,۴۶
XAn	۰,۰۱۹	۰,۰۲۵	۰,۰۰۴	۰,۰۴۰	۰,۰۰۴	۰,۰۳۴	۰,۰۰۷	۰,۰۳۸	۰,۰۱۱	۰,۰۳۹
XAb	۰,۹۵۸	۰,۴۰۷	۰,۹۷۲	۰,۴۲۵	۰,۹۶۷	۰,۴۱۶	۰,۹۶۹	۰,۳۶۵	۰,۹۶۸	۰,۴۱۷
XOr	۰,۰۲۳	۰,۵۶۸	۰,۰۲۴	۰,۵۲۴	۰,۰۲۹	۰,۵۵۰	۰,۰۲۹	۰,۵۹۷	۰,۰۲۱	۰,۵۴۴
دما براساس مرجع [۳۰]										
1	۷۰۷	۶۹۹		۷۰۲	۶۸۷		۷۰۲			
2	۷۱۳	۷۰۵		۷۰۸	۶۹۲		۷۰۸			
3	۷۱۹	۷۱۱		۷۱۳	۶۹۸		۷۱۴			
4	۷۲۵	۷۱۶		۷۱۹	۷۰۴		۷۲۰			
دما براساس مرجع [۳۱]										
1	۶۷۳	۶۶۸		۶۶۹	۶۵۴		۶۶۹			
2	۶۷۹	۶۷۴		۶۷۵	۶۶۱		۶۷۵			
3	۶۸۴	۶۸۰		۶۸۲	۶۶۸		۶۸۱			
4	۶۹۰	۶۸۷		۶۸۸	۶۷۴		۶۸۷			
دما براساس مرجع [۳۲]										
1	۶۴۲	۶۳۵		۶۵۴	۶۴۸		۶۶۰			
2	۶۵۱	۶۴۰		۶۶۱	۶۵۲		۶۶۸			
3	۶۶۰	۶۵۰		۶۷۲	۶۶۱		۶۷۵			
4	۶۶۸	۶۵۷		۶۸۵	۶۷۲		۶۹۰			

مختلفی برای تعیین دما ارائه شده است [۳۳-۴۸]. آن‌ها بیشتر برای سنگ‌های اکلوژیت و فرامافیک کاربرد دارند و در اسکارن‌ها با توجه به مقدار کلسیم بالا، باید با احتیاط استفاده شوند. از آنجا که، اساس بیشتر واسنجی‌ها مقدار Fe^{2+} بوده و در نمونه‌های گارنت مورد بررسی مقدار Fe^{3+} بالاست، بیشتر آن‌ها به

نتایج ده تجزیه نقطه‌ای از گارنت و کلینوپیروکسن‌های برگزیده در جدول‌های ۲ و ۳ ارائه شده است. زمین‌دماسنگی بر پایه زوج کانی گارنت-کلینوپیروکسن بر اساس تبادل-Fe-Mg بین گارنت و کلینوپیروکسن بوده زیرا ضریب انتشار (Kd) بین گارنت و کلینوپیروکسن تابعی از دماست. واسنجی‌های

واسنجی نیز داده‌های غیرقابل قبولی را ارائه می‌دهد. با توجه به مقدار بالای کلسیم در اسکارن، باید از واسنجی‌هایی استفاده شود که در مقادیر بالای کلسیم نیز دماهای منطقی‌تری را به دست می‌دهند. بر این اساس، واسنجی استفاده شده در مراجع [۴۱، ۳۹، ۳۶-۳۳] که برای سنگ‌های اکلوژیتی با مقدار گارنت با کلسیم بالا (گروسولار بیشتر) استفاده شده است، داده‌های قابل قبول‌تری را ارائه می‌دهد. واسنجی استفاده شده در مراجع [۳۹، ۳۴] برای نمونه‌های مورد بررسی، احتمالاً به دلیل وجود مقادیر آلومینیوم بالاتر در کلینوپیروکسن‌ها، دماهای کمتری را نشان می‌دهد. بنابراین در این پژوهش از واسنجی‌های مراجع [۳۷-۳۳] استفاده شد (جدول ۴) که نتایج قابل قبولی دارند. با توجه به جدول ۴، دماهای بدست آمده برای پهنه پیشرونده گارنت-پیروکسن اسکارن در فشارهای ۱ تا ۴ کیلوبار که فشارهای منطقی برای دگرگونی مجاورتی عامل تشکیل پهنه‌های اسکارنی هستند، حدود ۳۰۰ تا ۵۰۵ درجه سانتیگراد بدست آمد.

ویژه واسنجی ارایه شده در مراجع [۴۲-۴۱] قابل استفاده نیستند، چراکه دمای کمتری را نشان می‌دهد. واسنجی استفاده شده در مرجع [۳۸] برای سنگ‌هایی با دماهای بالا استفاده می‌شود که در این پژوهش از آن استفاده نشد زیرا دماهای قابل قبولی را به دست نمی‌دهد. واسنجی استفاده شده در مرجع [۴۸] برای سنگ‌های فرامافیک با گارنت‌هایی با مقدار منیزیوم بالا و کلینوپیروکسن‌های فقیر از سدیم و آلومینیوم کاربرد دارد. همچنان واسنجی استفاده شده در مرجع [۴۴] برای کلینوپیروکسن‌هایی با مقدار بسیار کم Al استفاده می‌شود. استفاده از این واسنجی‌ها برای منطقه مورد بررسی دماهای کمتری را نشان می‌دهد (۲۰۰ تا ۳۹۰ درجه سانتیگراد)، زیرا مقدار آلومینیوم در کلینوپیروکسن‌های مورد بررسی تا ۲/۴۱ درصد نیز می‌رسد و مقدار منیزیوم هم در گارنت بالاست. واسنجی ارائه شده در مراجع [۴۷، ۴۵] برای سنگ‌های گرانولیت و آمفیبولیت استفاده می‌شود که مقدار آن برابر با ۰/۲ باشد، در حالی که این مقدار در نمونه‌های XGrs مورد بررسی بیش از ۰/۵ است (تقریباً ۰/۷ تا ۰/۰). بنابراین این

جدول ۲ نتایج تجزیه ریزپردازش الکترون ساختاری بر اساس ۲۴ اتم اکسیژن (فرمول ساختاری کانی پیروکسن) در کانسار اسکارن دردوی.

	۱	۲	۳	۴	۵	۶	۷	۸	۹	۱۰
SiO ₂	۵۲,۳۶	۵۲,۴۸	۵۰,۴۸	۵۲,۴۱	۵۲,۷۴	۵۳,۴۹	۵۳,۴۷	۵۱,۰۱	۵۲,۹۱	۵۳,۹۴
TiO ₂	۰,۳۱	۰,۰۵	۰,۸۶	۰,۰۶	۰,۱۰	۰,۰۴	۰,۳۱	۰,۷۱	۰,۰۲	۰,۰۶
Al ₂ O ₃	۲,۴۱	۰,۶۵	۱,۸۰	۰,۸۱	۰,۸۹	۰,۷۹	۱,۳۸	۱,۵۲	۰,۳۴	۰,۷۳
Cr ₂ O ₃	۰,۰۰	۰,۰۳	۰,۰۰	۰,۰۵	۰,۰۰	۰,۰۲	۰,۰۰	۰,۰۰	۰,۰۳	۰,۰۰
Fe ₂ O ₃	۲,۵۳	۱,۴۳	۲,۶۱	۱,۴۱	۱,۵۷	۱,۳۳	۱,۲۹	۲,۵۲	۰,۶۵	۱,۰۲
FeO	۱,۳۰	۰,۵۹	۱,۷۷	۳,۴۴	۴,۰۷	۳,۷۵	۱,۴۰	۱,۳۹	۷,۲۷	۴,۶۴
MnO	۰,۱۱	۰,۲۵	۰,۵۵	۰,۱۵	۰,۱۴	۰,۰۷	۰,۲۴	۰,۵۲	۰,۴۱	۰,۲۱
MgO	۱۶,۷۳	۱۳,۹۸	۱۲,۴۸	۱۵,۷۷	۱۴,۹۶	۱۵,۳۶	۱۶,۷۴	۱۲,۹۴	۱۳,۷۶	۱۶,۷۸
CaO	۲۴,۴۸	۲۴,۸۸	۲۱,۴۳	۲۴,۹۸	۲۴,۹۲	۲۵,۱۹	۲۵,۴۶	۲۱,۰۲	۲۴,۷۳	۲۲,۶۰
Na ₂ O	۰,۰۰	۰,۱۰	۰,۵۹	۰,۱۲	۰,۱۴	۰,۱۲	۰,۰۲	۰,۶۰	۰,۰۸	۰,۰۰
مجموع	۱۰۰,۲۳	۹۹,۵۴	۹۹,۵۷	۱۰۰,۲۰	۹۹,۵۳	۱۰۰,۱۶	۱۰۰,۳۱	۹۹,۲۳	۱۰۰,۲۰	۹۹,۹۸
Si	۱,۹۱	۱,۹۶	۱,۹۱	۱,۹۶	۱,۹۵	۱,۹۶	۱,۹۴	۱,۹۳	۱,۹۷	۱,۹۶
Ti	۰,۰۰	۰,۰۰	۰,۰۲	۰,۰۰	۰,۰۰	۰,۰۰	۰,۰۰	۰,۰۲	۰,۰۰	۰,۰۰
Al	۰,۱۰	۰,۰۲	۰,۰۸	۰,۰۳	۰,۰۳	۰,۰۳	۰,۰۵	۰,۰۶	۰,۰۱	۰,۰۳
Cr	۰,۰۰	۰,۰۰	۰,۰۰	۰,۰۰	۰,۰۰	۰,۰۰	۰,۰۰	۰,۰۰	۰,۰۰	۰,۰۰
Fe ³⁺	۰,۰۵	۰,۰۴	۰,۰۷	۰,۰۳	۰,۰۴	۰,۰۳	۰,۰۳	۰,۰۷	۰,۰۱	۰,۰۲
Fe ²⁺	۰,۰۶	۰,۱۷	۰,۲۷	۰,۱۰	۰,۱۲	۰,۱۱	۰,۰۴	۰,۲۶	۰,۲۲	۰,۰۵
Mn	۰,۰۰	۰,۰۰	۰,۰۱	۰,۰۰	۰,۰۰	۰,۰۰	۰,۰۰	۰,۰۱	۰,۰۱	۰,۰۰
Mg	۰,۹۱	۰,۷۸	۰,۷۰	۰,۸۶	۰,۸۲	۰,۸۴	۰,۹۰	۰,۷۳	۰,۷۶	۰,۹۱
Ca	۰,۹۸	۰,۹۹	۰,۸۷	۰,۹۸	۰,۹۹	۰,۹۹	۰,۹۹	۰,۸۵	۰,۹۸	۱,۰۰
Na	۰,۰۰	۰,۰۱	۰,۰۴	۰,۰۰	۰,۰۱	۰,۰۰	۰,۰۰	۰,۰۴	۰,۰۰	۰,۰۰
زوهانسنت	۰,۳۵	۰,۷۹	۱,۶۴	۰,۴۶	۰,۴۴	۰,۲۲	۰,۷۴	۰,۲۵	۱,۲۷	۰,۶۵
دیوبسید	۹۲,۰۲	۷۷,۷۵	۶۵,۵۸	۸۵,۲۶	۸۲,۵۸	۸۴,۵۱	۹۱,۴۱	۹۲,۷۸	۷۴,۷۹	۹۱,۵۲
هندربگیت	۶,۶۳	۲۱,۴۶	۳۲,۷۸	۱۴,۲۸	۱۶,۹۸	۱۵,۲۷	۷,۸۴	۶,۹۷	۲۳,۹۵	۷,۸۳
XFe	۰,۰۳۶	۰,۱۱۰	۰,۱۸۶	۰,۰۷۵	۰,۰۸۸	۰,۰۷۸	۰,۰۴۱	۰,۱۷۹	۰,۱۲۴	۰,۰۴۱
XMg	۰,۴۶۰	۰,۳۹۰	۰,۳۶۴	۰,۴۳۳	۰,۴۱۵	۰,۴۲۳	۰,۴۵۸	۰,۳۷۹	۰,۳۸۲	۰,۴۵۸
XCa	۰,۵۰۴	۰,۵۰۰	۰,۴۵۰	۰,۴۹۳	۰,۴۹۷	۰,۴۹۹	۰,۵۰۱	۰,۴۴۲	۰,۴۹۴	۰,۵۰۲

جدول ۳ نتایج تجزیه ریزپردازش الکترونی مایکروپروب کانی گارنت (فرمول ساختاری بر اساس ۱۲ اتم اکسیژن) در کانسوار اسکارن دردوی.

	۱	۲	۳	۴	۵	۶	۷	۸	۹	۱۰
SiO ₂	۲۶,۹۹	۲۷,۱۶	۲۷,۴۹	۲۷,۲	۲۷,۶۰	۲۷,۴۵	۲۶,۶۶	۲۷,۹۴	۲۶,۸۵	۲۶,۷۷
TiO ₂	۰,۴۰	۰,۵۸	۰,۱۸	۰,۲۷	۰,۴۴	۰,۱۲	۰,۰۵	۱,۷۵	۰,۰۶	۰,۶۳
Al ₂ O ₃	۹,۰۱	۱۱,۰۶	۹,۳۴	۸,۴۹	۱۰,۸۳	۱۱,۹۴	۸,۲۱	۱۳,۹۲	۸,۵۸	۹,۰۳
Cr ₂ O ₃	۰,۰۰	۰,۰۲	۰,۰۰	۰,۰۰	۰,۰۰	۰,۰۰	۰,۰۰	۰,۰۰	۰,۰۰	۰,۰۰
Fe ₂ O ₃	۱۸,۷۸	۱۵,۵۱	۱۸,۳۳	۱۹,۴۹	۱۶,۲۶	۱۴,۱۶	۱۹,۷۴	۱۱,۶۸	۱۹,۳۲	۱۸,۹۰
FeO	۰,۰۰	۰,۰۰	۰,۰۰	۰,۰۰	۰,۰۳	۰,۰۰	۰,۰۰	۰,۰۰	۰,۰۰	۰,۰۰
MnO	۰,۰۷	۰,۰۷	۰,۰۴	۰,۱۳	۰,۱۴	۰,۰۵	۰,۰۰	۰,۰۵	۰,۳۹	۰,۵۰
MgO	۰,۱۲	۰,۱۴	۰,۰۶	۰,۰۷	۰,۰۷	۰,۲۰	۰,۱۰	۰,۰۵	۰,۲۹	۰,۴۱
CaO	۳۴,۶۶	۳۵,۲۶	۳۵,۰۳	۳۴,۹۸	۳۵,۰۱	۳۵,۵۸	۳۴,۹۶	۳۴,۴۹	۳۴,۲۶	۳۴,۰۱
Na ₂ O	۰,۰۰	۰,۰۰	۰,۰۰	۰,۰۲	۰,۰۰	۰,۰۰	۰,۰۱	۰,۰۰	۰,۰۰	۰,۰۰
مجموع	۱۰۰,۰۳	۹۹,۸۰	۱۰۰,۴۷	۱۰۰,۴۷	۱۰۰,۳۸	۹۹,۷۰	۹۹,۷۳	۹۹,۸۸	۱۰۰,۵۵	۹۹,۹۵
Si	۲,۹۷	۲,۹۶	۲,۹۹	۲,۹۷	۲,۹۸	۲,۹۷	۲,۹۷	۲,۹۴	۲,۹۵	۲,۹۵
Ti	۰,۱۲	۰,۱۳	۰,۱۱	۰,۱۱	۰,۱۲	۰,۱۱	۰,۱۰	۰,۱۰	۰,۱۵	۰,۱۳
Al	۰,۸۵	۱,۰۴	۰,۸۸	۰,۸۰	۱,۰۱	۱,۱۱	۰,۷۸	۰,۹۶	۰,۱۴	۰,۰۵
Fe ³⁺	۱,۱۳	۰,۹۳	۱,۱۰	۱,۱۸	۰,۹۷	۰,۸۴	۱,۲۰	۱,۳۲	۱,۱۶	۱,۱۵
Fe ²⁺	۰,۰۰	۰,۰۰	۰,۰۰	۰,۰۰	۰,۰۰	۰,۰۰	۰,۰۰	۰,۲۰	۰,۰۰	۰,۰۱
Cr	۰,۰۰	۰,۰۰	۰,۰۰	۰,۰۰	۰,۰۰	۰,۰۰	۰,۰۰	۰,۰۰	۰,۰۰	۰,۰۰
Mn	۰,۰۰	۰,۰۰	۰,۰۰	۰,۰۰	۰,۰۰	۰,۰۰	۰,۰۰	۰,۰۱	۰,۰۲	۰,۰۳
Mg	۰,۰۱	۰,۰۱	۰,۰۰	۰,۰۰	۰,۰۰	۰,۰۲	۰,۰۱	۰,۰۱	۰,۰۳	۰,۰۴
Ca	۲,۹۸	۳,۰۱	۳,۰۰	۳,۰۱	۲,۹۷	۳,۰۳	۳,۰۴	۳,۷۸	۲,۹۴	۲,۹۱
Na	۰,۰۰	۰,۰۰	۰,۰۰	۰,۰۰	۰,۰۰	۰,۰۰	۰,۰۰	۰,۰۰	۰,۰۰	۰,۰۰
آندرازید	۵۷,۳۲	۴۷,۲۳	۵۵,۶۳	۵۹,۴۴	۴۸,۹۴	۴۳,۰۸	۶۰,۷۶	۲۵,۶۴	۶۰,۲	۵۸,۶
گروسولار	۴۲,۰۶	۵۱,۹۸	۴۴,۰۴	۳۹,۹۵	۵۰,۴۹	۵۶,۰۱	۳۸,۸۳	۶۳,۵۸	۳۹,۰۰	۴۰,۱
پیروپ	۰,۴۷	۰,۵۸	۰,۱۴	۰,۳۰	۰,۲۷	۰,۸۰	۰,۴۱	۰,۲۴	۰,۵	۰,۶
آلماندین	۰,۰۰	۰,۰۰	۰,۰۰	۰,۰۰	۰,۰۰	۰,۰۰	۰,۰۰	۰,۰۰	۰,۰۰	۰,۳
سیساراتین	۰,۱۶	۰,۱۶	۰,۰۹	۰,۳۰	۰,۳۰	۰,۱۰	۰,۰۰	۰,۵۲	۰,۴	۰,۵
اووارونت	۰,۰۰	۰,۰۵	۰,۰۰	۰,۰۰	۰,۰۰	۰,۰۰	۰,۰۰	۰,۰۰	۰,۰۰	۰,۰۰
XFe	۰,۲۹۶	۰,۲۵۵	۰,۲۸۹	۰,۳۰۲	۰,۲۶۶	۰,۲۳۶	۰,۳۰۵	۰,۲۰۹	۰,۳۰۳	۰,۳۰۳
XMg	۰,۰۰۳	۰,۰۰۴	۰,۰۰۲	۰,۰۰۲	۰,۰۰۲	۰,۰۰۶	۰,۰۰۳	۰,۰۰۲	۰,۰۰۸	۰,۰۰۸
XCa	۰,۷۰۰	۰,۷۴۱	۰,۷۰۹	۰,۶۹۶	۰,۷۳۲	۰,۷۵۸	۰,۶۹۲	۰,۷۹۰	۰,۶۸۹	۰,۶۸۹

جدول ۴ دمایهای بدست آمده بر حسب درجه سانتیگراد از زمین‌دماسنگی زوج کانی‌های گارنت-کلینوپیروکسن در فشارهای یک تا ۴ کیلوبار بر اساس واسنجی‌های ارائه شده در مراجع [۳۷-۳۳].

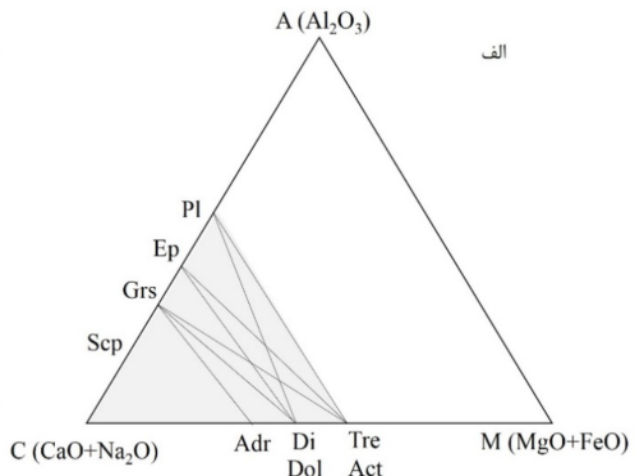
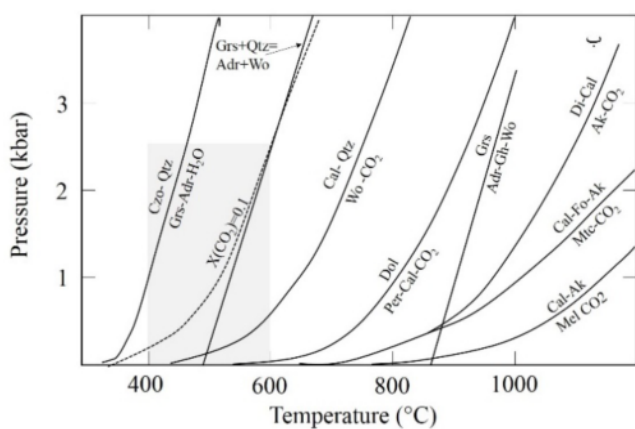
	فشار(Kbar)	۱	۲	۳	۴	۵	۶	۷	۸	۹	۱۰
Kd		۶۸,۳۶۱	۲۲۵,۰۳	۹۰,۵۳۲	۶۱۷,۲۷	۲۱۴,۰۷	۱۲۲۸,۴۳	۲۲۷,۰۶	۱۱۵۵۹	۱۳۶۶۶	۲۲۰,۶۲
[۳۳]	1	۳۸۵	۴۷۲	۴۲۵	۳۴۰	۳۸۰	۴۸۰	۳۴۰	۴۶۰	۵۰۰	۵۰۰
	2	۳۸۷	۴۷۴	۴۲۶	۳۴۱	۳۸۱	۴۸۲	۳۴۱	۴۶۲	۵۰۲	۵۰۱
	3	۳۸۸	۴۷۵	۴۲۷	۳۴۲	۳۸۲	۴۸۳	۳۴۲	۴۶۴	۵۰۳	۵۰۲
	4	۳۸۹	۴۷۶	۴۲۸	۳۴۴	۳۸۴	۴۸۵	۳۴۵	۴۶۵	۵۰۵	۵۰۴
[۳۴]	1	۳۶۰	۴۷۰	۴۱۵	۳۲۵	۳۷۰	۴۸۵	۳۱۵	۴۲۶	۵۰۱	۵۰۰
	2	۳۶۱	۴۷۱	۴۱۶	۳۲۷	۳۷۱	۴۸۶	۳۱۷	۴۲۸	۵۰۲	۵۰۲
	3	۳۶۳	۴۷۳	۴۱۸	۳۲۸	۳۷۲	۴۸۷	۳۱۸	۴۲۹	۵۰۳	۵۰۳
	4	۳۶۵	۴۷۴	۴۲۰	۳۲۹	۳۷۴	۴۸۹	۳۲۰	۴۳۰	۵۰۴	۵۰۴
[۳۵]	1	۳۳۰	۴۷۵	۴۹۰	۳۱۸	۳۳۷	۴۳۵	۳۱۰	۴۰۰	۴۹۸	۴۹۰
	2	۳۳۱	۴۷۶	۴۹۲	۳۲۰	۳۳۸	۴۳۶	۳۱۲	۴۰۲	۴۹۰	۴۹۲
	3	۳۳۲	۴۷۷	۴۹۳	۳۲۲	۳۳۹	۴۳۸	۳۱۳	۴۰۳	۴۹۱	۴۹۳
	4	۳۳۴	۴۷۹	۴۹۴	۳۲۳	۳۴۱	۴۳۹	۳۱۴	۴۰۴	۴۹۲	۴۹۴
[۳۶]	1	۳۱۰	۴۰۰	۳۶۰	۳۰۰	۳۳۵	۴۱۵	۳۲۰	۳۷۵	۴۶۰	۴۸۰
	2	۳۱۱	۴۰۲	۳۶۲	۳۰۲	۳۳۷	۴۱۸	۳۲۱	۳۷۶	۴۶۲	۴۸۲
	3	۳۱۳	۴۰۴	۳۶۴	۳۰۴	۳۳۹	۴۲۰	۳۲۳	۳۷۷	۴۶۳	۴۸۴
	4	۳۱۵	۴۰۶	۳۶۶	۳۰۵	۳۴۱	۴۲۲	۳۲۵	۳۷۹	۴۶۴	۴۸۵
[۳۷]	1	۳۰۰	۳۶۷	۳۶۰	۳۱۰	۳۴۰	۴۱۰	۳۶۴	۴۲۰	۴۷۰	۴۳۰
	2	۳۰۱	۳۶۸	۳۶۱	۳۱۱	۳۴۱	۴۱۱	۳۶۵	۴۲۱	۴۷۱	۴۳۲
	3	۳۰۲	۳۶۹	۳۶۲	۳۱۲	۳۴۲	۴۱۲	۳۶۷	۴۲۳	۴۷۲	۴۳۴
	4	۳۰۳	۳۷۰	۳۶۴	۳۱۳	۳۴۴	۴۱۴	۳۶۸	۴۲۵	۴۷۳	۴۳۵

مجله بلورشناسی و کانی شناسی ایران

است [۵۳]. مقدادیر XCO_2 می‌تواند بر شرایط دما و فشار پایداری کانی‌ها موثر باشد، بهطوری‌که دمای پایداری کانی‌ها با افزایش مقدار XCO_2 کاهش می‌یابد. اگر ولاستونیت در اسکارن تشکیل شود، نشان‌دهنده شرایط دمایی بالا و یا مقدادیر XCO_2 است. با توجه به اینکه در اسکارن دردروی، کم XCO_2 ولاستونیت تشکیل نشده است، می‌توان گفت که کلسیم موجود برای تشکیل گروسولار استفاده شده است. با در نظر گرفتن نبود ولاستونیت، فراوانی کانی‌های گروسولار-آندرادیت و با توجه به مجموعه کانی‌های تشکیل شده در اسکارن دردروی (شکل ۷ ب)، می‌توان گفت که اسکارن دردروی در دمایی بین ۴۰۰ تا ۶۰۰ درجه سانتیگراد و فشار تا ۲/۵ کیلوبار تشکیل شده است.

در پهنه پسروند، کانی‌های سیلیکات آبدار با کاهش دمای اسکارن‌ها تشکیل می‌شوند. کلریت و آمفیبول‌های نوع کلسیمی زمین‌دماسنج‌های مناسبی برای پهنه‌های پسروند کانسارهای اسکارن هستند. آمفیبول‌های پهنه پسروند اسکارن دردوی نیز از نوع کلسیمی بوده [۱۲] و به تغییرات دما و فشار حساس‌اند و به عنوان زمین‌دماسنج بکار می‌روند [۵۴,۵۵]. دمای بدست آمده بر اساس زمین‌دماسنج آمفیبول کلسیمی ارائه شده در مرجع [۵۶]، ۳۰۰ تا ۲۰۰ درجه سانتیگراد است.

کانی‌شناسی اسکارن‌ها پیچیده و شامل مجموعه کانی‌های سلیلکات آبدار و بدون آب هستند که در شرایط دمایی مختلفی تشکیل می‌شوند و می‌توان با توجه به فرآیندهای تشکیل آنها، شرایط دما و فشار در زمان تشکیل پهنه‌های اسکارنی را برآورد کرد. مجموعه کانی‌های تشکیل شده در پهنه‌های اسکارنی کانسار دردی شامل گارنت، کلینوپیروکسن، اکتینولیت، کلریت، اپیدوت، هورنبلنده، فلوگوپیت، اسکاپولیت، ترمولیت، آمفیبول، کلسیت، دولومیت، سیدریت هستند [۱۲] که در نمودار فازی ساده شده ACM [۴۶] یا ACMS-CH [۴۹] نشان داده شده است (شکل ۷ الف). در این نمودار، مجموعه کانی‌های تشکیل شده نزدیک به قطب C قرار دارند و کلریت و فلوگوپیت نزدیک قطب M هستند (نشان داده نشده). تعادل-های فازی کانی‌های موجود در اسکارن‌ها در شرایط دما و فشارهای گوناگون توسط بومن [۴۹] ارائه شده است (شکل ۷ ب). به اعتقاد ارنست [۵۰]، بیشترین دما در دگرگونی‌های مجاورتی و تشکیل اسکارن‌های مربوط به آن کمتر از ۶۵۰ درجه سانتیگراد است. همچنین برخی پژوهشگران [۵۲،۵۱] دماهای بین ۴۰۰ تا ۶۰۰ درجه سانتیگراد را برای تشکیل اسکارن‌ها پیشنهاد می‌کنند. از طرفی، بررسی‌های تجربی تایید کرده که دمای تشکیل برای گارنت آندرادیت-گروسوکلار و پیروکسن در گستره دماهای بین ۲۲۵ و ۹۵۰ درجه سانتیگراد



شکل ۷ الف) نمایش مجموعه کانی‌های پهنه‌های اسکارنی دردی و روابط بین آنها در نمودار ACM [۴۶] که در آن H_2O , CO_2 , Qtz به صورت فاز اضافی در نظر گرفته شده است و ب) نمودار دما-فشار در سیستم‌های اسکارنی که در آن تنوعی از تعادل‌های فازی پایدار در شرایط دما و فشارهای مختلف نشان داده شده است [۴۷]. با توجه به شکل و مجموعه کانی‌های تشکیل شده و نبود ولاستونیت، می‌توان گفت که پهنه‌های اسکارنی در دمایی بین ۴۰۰ تا ۶۰۰ درجه سانتیگراد و فشار تا ۲/۵ کیلوبار تشکیل شده‌اند. (Czo) کلینوزوئیزیت، (Qtz) کوارتز، (Grs) گروسولار، (Adr) آندرادیت، (Wo) ولاستونیت، (Cal) کلسیت، (Dol) دولومیت، (Di) دیوپسید، (Gh) ژهلنیت، (Ak) آکرمانیت، (Fo) فورستریت، (Mtc) مونتی سیلیت، (Mel) ملیلیت، (U) عالیم اختصاری کانی‌ها بر گرفته از مرجع [۲۹].

دلیل نبود کانی مناسب و ریزبودن میانبارهای سیال بسیار مشکل است. اسکارن دردودی به دلیل وجود بلورهای درشت کارنت و همچنین کوارتز و رگه‌های سیلیسی شرایط مناسبی برای بررسی میانبارهای سیال دارد که نتایج آن در مرجع [۱۳] آورده شده است. هدف از این پژوهش، بررسی اصولی پهنه‌های اسکارنی اسکارن دردودی به منظور تعیین شرایط دمای تشکیل پهنه‌های اسکارنی بر اساس زمین‌دماسنگ‌های کانی‌های سیلیکاتی و تطابق با داده‌های میانبارهای سیال است. طرحواره‌ای از پهنه‌های اسکارنی کانسار دردودی و دماهای بدست آمده از آن در شکل ۸ نشان داده شده است. اسکارنی شدن براساس مرجع [۱۳] شامل چند مرحله است که در هر مرحله دمای تشکیل بر اساس زمین‌دماسنگی کانی‌ها و میانبارهای سیال محاسبه شده است. مرحله نخست شامل نفوذ توده گرانیتی سرنوسر در سنگ میزبان کربناتی و شیلی با دمای ۳۲۰ تا ۵۲۰ درجه سانتیگراد و فشار تقریبی ۱ تا ۲ کیلوبار و ایجاد هاله دگرگونی مجاورتی در سنگ‌های اطراف است که اثر گرمایی ناشی از آن سبب دگرگونی ایزوشیمیابی و دگرسانی دگرنهادی در سنگ میزبان و سرانجام سبب تشکیل مرمرهای کلسیتی و اسکارنوئید هورنفلسی شده است [۱۳].

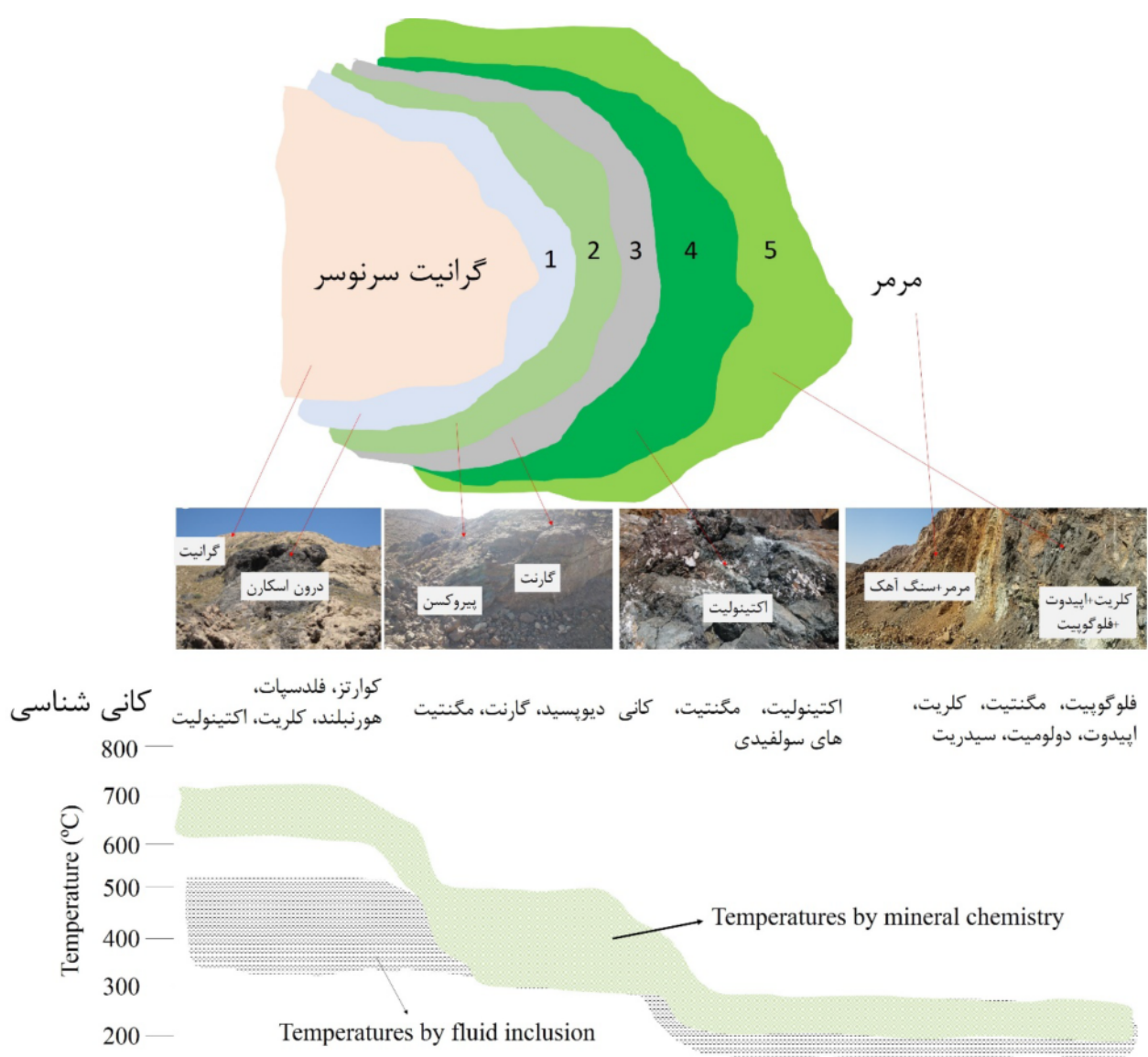
فرمول کلی کلریت به صورت $(Mg, Fe^{2+}, Fe^{3+}, Mn, Al)(Si, Al)_4 O_{10})(OH)_8$ است. اساس روش زمین‌دماسنگی کلریت وجود ارتباط مستقیم بین آلومینیم در جایگاه چاروجه‌ی Al^{IV} با تغییرات دماست. بنابراین، قطب غنی از آلومینیم در محلول جامد کلریت می‌تواند به عنوان یک دماسنگ استفاده شود [۵۸،۵۷]. نمودار دیگری برای تغییرات شیمیایی در کلریت [۵۹] بر اساس تغییرات مقدار آهن و منیزیم $(Fe/Fe+Mg)$ ارائه شده که تابع تغییرات دماست. واسنجی تجربی آن در گستره دمایی ۱۵۰ تا ۳۰۰ درجه سانتیگراد معتبر است، هرچند در دماهای بالاتر و پایین‌تر نیز، دماهای قابل قبولی را به دست می‌دهد. یک زمین‌دماسنگ دیگر نیز برای کلریت ارائه شده [۶۰] که اساس آن تصحیحات واسنجی ارائه شده در مرجع [۵۸] و بر این اساس است که کلریت در محیط‌های غنی از آلومینیوم تشکیل می‌شود. نتایج تجزیه نقطه‌ای کلریت در جدول ۵ ارائه شده و بر اساس آن دماهای بدست آمده از سه واسنجی مراجع [۵۸-۶۰]، در گستره دمایی ۲۰۰ تا ۲۹۰ درجه سانتیگراد است.

بحث

تعیین دمای اسکارن‌ها بر اساس بررسی میانبارهای سیال به

جدول ۵ نتایج تجزیه ریزپردازش الکترونی کانی کلریت در کانسار اسکارن دردودی (فرمول ساختاری بر اساس ۱۲/۵ اتم اکسیژن محاسبه شده است).

	Ch11	Ch12	Ch13
SiO_2	۲۷,۲۸	۲۶,۸۴	۲۷,۲۱
Al_2O_3	۱۷,۵۰	۱۷,۸۰	۱۷,۵۸
Cr_2O_3	۰,۰۰	۰,۰۱	۰,۰۱
FeO_T	۲۱,۸۰	۲۶,۲۶	۲۱,۷۵
MnO	۳,۱۳	۴,۱۳	۲,۱۳
MgO	۱۷,۴۰	۱۵,۱۹	۱۷,۳۹
CaO	۰,۰۸	۰,۰۵	۰,۰۱
Na_2O	۰,۰۰	۰,۰۱	۰,۰۰
K_2O	۰,۰۰	۰,۱۶	۰,۰۵
مجموع	۸۷,۱۹	۸۸,۴۲	۸۷,۱۳
Si	۲,۵۷۵	۲,۵۴۷	۲,۵۷۰
$Al(IV)$	۱,۰۲۸	۰,۹۹۹	۱,۱۵۰
$Al(VI)$	۰,۹۲۸	۱,۰۰۰	۰,۸۰۸
Fe^{2+}	۱,۷۲۱	۱,۹۲۵	۱,۷۱۸
Cr	۰,۰۰۰	۰,۰۰۰	۰,۰۰۱
Mn	۰,۲۵۰	۰,۳۳۲	۰,۲۵۰
Mg	۲,۴۴۸	۲,۱۴۸	۲,۴۴۸
Ca	۰,۰۰۸	۰,۰۰۵	۰,۰۰۱
Na	۰,۰۰۰	۰,۰۰۲	۰,۰۰۰
K	۰,۰۰۰	۰,۰۱۷	۰,۰۰۶
$Fe(Fe+Mg)$	۰,۴۱۳	۰,۴۷۲	۰,۴۱۲
Cathelineau (1988)	۲۸۰	۲۷۰	۲۹۵
Jowett (1991)	۲۸۰	۲۶۰	۲۹۰
Kranidiotis and MacLean (1987)	۲۰۰	۲۰۰	۲۱۰



شکل ۸ طرحواره بدون مقیاس از پهنه‌های اسکارنی پیرامون گرانیت سرنوسر همراه با کانی‌شناسی غالب در هر پهنه و دماهای بدست آمده بر اساس ترکیب شیمیایی کانی‌ها و میانبارهای سیال که روند کاهش دما از درون اسکارن، پهنه پیشرونده به سمت پهنه پسرونده مشخص است.

دردودی، به دلیل فراوانی مول کلسیم در پهنه‌های اسکارنی و تشکیل بیشتر کانی‌ها نزدیک به قطب کلسیم‌دار (شکل ۷ ب)، و همچنین وجود مقادیر XCa در فلدسپارهای گرانیت سرنوسر (۰/۰۰ تا ۰/۰۴)، دماهای برآورد شده بیشتر از دماهای بدست آمده از میانبارهای سیال است.

مرحله دوم تشکیل پهنه برونا اسکارن در دردودی است که شامل (الف) مرحله پیشرونده با دمای ۴۹۰ تا ۳۱۰ درجه سانتیگراد و شوری ۲۵ تا ۲۸ wt.% NaCl و (ب) مرحله گارنت و کلینوپیروکسن است [۱۲، ۱۳]. زمین‌دماستنج گارنت-کلینوپیروکسن استفاده شده

دمای تشکیل درون اسکارن بر اساس زمین‌دماستنجی پلازیوکلاز-فلدوپیات قلیایی حدود ۶۳۵ تا ۷۲۵ درجه سانتیگراد برآورد شد که بیشتر از دماهای بدست آمده از میانبارهای سیال است (۳۲۰ تا ۵۲۰ درجه سانتیگراد). این اختلاف می‌تواند دو دلیل داشته باشد. یکی اینکه اگر داده‌های میانبارهای سیال مربوط به کوارتزهای گرمابی ثانویه ناشی از توده گرانیتی باشند، زمین‌دماستنج دوفلدسپار دمای توده گرانیتی را نشان می‌دهد. از طرف دیگر، به اعتقاد پاول و همکارش [۶۱] مقدار مول کلسیم در فلدسپار قلیایی باعث بالا رفتن دماهای بدست آمده از زمین‌دماستنج‌های دوفلدسپار می‌شود. در اسکارن

رگه‌های کوارتز تأخیری کانه‌دار است. سیلیکات‌های بدون آب شامل کلینوپیروکسن و گارنت هستند که در مراحل پیشرونده تشکیل اسکارن رخ داده‌اند. در مراحل بعدی در اثر عملکرد سیال‌ها، سیلیکات‌های آبدار از قبیل اپیدوت، فلوگوییت، کلریت، آمفیبول، اسکاپولیت و کانی‌های دیگر در مرحله پیشرونده تشکیل شده است. علت تشکیل کانسارهای اسکارن در همسایگی توده‌های نفوذی، دگرگونی مجاورتی شناخته شده است. در این پژوهش، دمای تشکیل پهنه‌های اسکارنی در پهنه پیشرونده و پیشرونده و همچنین دمای جایگزینی توده گرانیتی سرنوسر بر اساس زمین‌دماسنگی کانی‌های سیلیکاتی بدست آمد که نتایج زمین‌دماسنگی پهنه‌های اسکارنی با استفاده از شیمی کانی‌ها با دمایی بدست آمده از میانبارهای سیال هموخانی قابل قبولی دارد و از این روش می‌توان برای برآورد دمای تشکیل دیگر اسکارن‌های منطقه معدنی سنگان و مناطق مشابه در ایران استفاده کرد.

مراجع

- [1] Geological Survey of Iran, "Geological map of Iran at the scale 1/1000000", (2002).
- [2] Geological Survey of Iran, "Report of Taybad geological map at the scale 1/250000", (1990) 150p.
- [3] Karimpour M.H., Malekzadeh Shafaroudi A., Mazaheri S. A., "Alteration-mineralization, and radiometric ages of the source pluton at the Sangan iron skarn deposit, northeastern Iran", Ore Geology Reviews 65 (2015) 545–563.
- [4] Golmohammadi A., Karimpour M.H., Malekzadeh Shafaroudi A., Mazaheri S.A., "Alteration-mineralization, and radiometric ages of the source pluton at the Sangan iron skarn deposit, northeastern Iran", Ore Geology Reviews 65(2) (2015) 545–563.
- [5] Karimpour M.H., Malekzadeh Shafaroudi A., "Geochemistry and mineralogy of skarn zones and petrology of source rock Sangan iron mine, Khorasan Razavi, Iran", Scientific Quarterly Journal, Geosciences 65 (2007) 108–125.
- [6] Malekzadeh Shafaroudi A., Mazhari N., Ghaderi M., "Geology, mineralogy, and chemistry of skarn zones and orebody in Ma'danjoo iron skarn prospect area, east of Sangan mine, Khaf, NE Iran", Iranian Journal of Crystallography and Mineralogy 24 (1) (2016) 83-98.
- [7] Karimpour M.H., "Geochemistry and mineralogy of the Khorasan Sangan iron ore deposits", Iranian

برای مرحله پیشرونده دماهای ۳۰۰ تا ۵۰۵ درجه سانتیگراد را نشان داد که تقریباً معادل دماهای بدست آمده از میانبارهای سیال است. فازهای تشکیل شده در اسکارن دردودی معادل دگرگونی مجاورتی با رخساره هورنبلند-هورنفلس هستند که با دماهای بین ۴۰۰ تا ۶۰۰ درجه سانتیگراد و فشارهای کمتر از ۳ کیلوبار هم خوانی دارد (شکل ۷ ب).

از آنجاکه ولاستونیت در پهنه‌های اسکارنی درون اسکارن و پیشرونده تشکیل نشده است، می‌توان گفت که دماهای اسکارن کمتر از ۵۵۰ درجه سانتیگراد است [۵۰]. ولاستونیت زمانی تشکیل می‌شود که دمای محیط بالا (بالاتر از ۷۰۰ درجه سانتیگراد) باشد و یا XCO_2 محیط کم باشد. مقادیر XCO_2 در اسکارن دردودی کم نیست، چراکه بیشتر کانی‌های تشکیل شده در محیط در قطب کلسیمی نمودار ACM قرار دارند و افزایش XCO_2 به دلیل تاثیر فاز فقیر از آب در منطقه است که در اثر آن کانی‌های اسکارنی پیشرونده بدون آب تشکیل شده‌اند [۵۰]. مرحله ب) پیشرونده با دمای تقریبی ۳۱۰ تا ۳۵۰ درجه سانتیگراد و شوری متوسط ۱۲/۷ wt.% NaCl و مجموعه کانی‌های سیلیکات کلسیم بدون آب مشخص شده است [۱۳]. زمین‌دماسنگی‌های کلریت و آمفیبول کلسیمی در پهنه پیشرونده به ترتیب دماهای ۲۰۰ تا ۲۹۰ درجه و ۲۰۰ تا ۳۰۰ درجه سانتیگراد را نشان می‌دهد که معادل دماهای بدست آمده از میانبارهای سیال است. کاهش دماهای بدست آمده از پهنه اسکارن پیشرونده به سمت پیشرونده هم در میانبارهای سیال و هم زمین‌دماسنگ‌های کانی‌های سیلیکاتی مشهود است. همچنین ترکیب کانی‌های تشکیل شده نیز کاهش دما را نشان می‌دهد، بهطوری که مقدار منیزیم طی توالی پاراژنزی افزایش و آهن کاهش می‌یابد [۱۲]. بلورهای درشت پیروکسن دارای بافت منطقه‌ای هستند که در منطقه وجود دارند که برای مثال در دو نمونه اشاره شده در مرکز دارای ترکیب $\text{Di}_{82}\text{Hd}_{16}$ و $\text{Di}_{84}\text{Hd}_{15}$ و در لبه دارای ترکیب $\text{Di}_{96}\text{Hd}_3$ و $\text{Di}_{96}\text{Hd}_3$ هستند [۱۲].

برداشت

با نفوذ توده نفوذی سرنوسر، سنگ‌های آهکی منیزیم‌دار دستخوش دگرگونی مجاورتی شده و به مرمر دولومیتی تبدیل شده‌اند. اسکارن‌زاibi در اسکارن دردودی شامل گرانیت سرنوسر به عنوان خاستگاه کانی‌سازی، پهنه اسکارنی شامل دو زیرپهنه درون اسکارن و برون اسکارن، کانسنگ آهن مگنتی و

- igneous rocks, northeastern Iran", Ph. D thesis, Akita Univ, Japan, (1998a) 226 p.*
- [17] Boomeri M., "Geochemical characteristics of halogen-bearing hastingsite, scapolite and phlogopite from the Sangān iron skarn deposits, northeastern Iran", Journal of Mineralogy and Petrology 92 (1998b) 481-501.
- [18] Ferry J., "Characterization of metamorphism through mineral equilibria", Reviews in Mineralogy, Mineralogical Society of America, 10 (1986) 397 p.
- [19] Ai Y., "A revision of the garnet-clinopyroxene Fe²⁺-Mg exchange geothermometer", Contribution Mineralogy and Petrology 115 (1994) 467–473.
- [20] Berman R.G., Aranovich L.Y., Pattison D.R.M., "Reassessment of the garnet-clinopyroxene Fe-Mg exchange thermometer: II. Thermodynamic analysis", Contribution Mineralogy and Petrology 119 (1995) 30–42.
- [21] Sheikhi F., Alaminia Z., Tabbakh shabani A.A., "Seranic skarn geothermometry (SW Ghorveh, Kordestan Province)", Iranian Journal of Crystallography and Mineralogy 20 (2) (2012) 343-354.
- [22] Ghorbani H., Moazzen M., Saki A., "Investigations on mineral chemistry and P-T estimation for formation of diopside, garnet and coexisting minerals in the calc-silicate hornfelses from the Alvand metamorphic aureole, Hamadan, West of Iran", Scientific Quarterly Journal, Geosciences 26 (2016) 139–146.
- [23] Guangrong L., "Iron ore deposits in the Eastern Tianshan orogenic belt (China): the magnetite-skarn-magmatism association", Ph. D. thesis, University of Orleans, USA (2012).
- [24] Zamanian H., Sameti M., Pazoki A., Barani N., Ahmadnejad F., "Thermobarometry in the Sarvian Fe-skarn deposit (Central Iran) based on garnet-pyroxene chemistry and fluid inclusion studies", Arabian Journal of Geoscience 10 (2017) 54-71.
- [25] Torabi G., Norbeheshht I., Shirdashtzadeh N., Pirnia T., "Geothermometry of skarns in the Nain ophiolitic melang. (Isfahan Province)", Iranian Journal of Crystallography and Mineralogy 15 (2) (2007) 357-382.
- [26] Ferry J. M., "Role of fluid flow in the contact metamorphism of siliceous dolomitic imestones", American Mineralogist 79 (1994) 719-736.
- [27] Bowman J.R., "Basic Aspects and Applications of Phase Equilibria in the Analysis of Metasomatic Ca-Mg-Al-Fe-Si Skarns: In Mineralized Intrusion-Related Skarn Systems (D.R. Journal of Crystallography and Mineralogy 2 (2) (1994) 145-156.
- [8] Kahleni Sh., Malekzadeh Shafaroudi A., Karimpour M.H., "The geochemistry and mineralogy of North C ore body and Baghak anomaly and determination of two Pyrrhotite generations which are different in composition in Sangān mine, eastern Iran", Iranian Journal of Crystallography and Mineralogy 16 (2) (2008) 313-326.
- [9] Mazaheri S.A., "Classification of amphiboles from Iron ore deposits, Sangān area, Khaf", Iranian Journal of Crystallography and Mineralogy 10 (1) (2002) 67-80.
- [10] Mazaheri N., Malekzadeh Shafaroudi A., Ghaderi M., "Geology, mineralogy and geochemistry of Ferezneh ferromanganese anomaly, east of Sangān mines complex, NE Iran", Iranian Journal of Economic Geology 7 (1) (2015) 23-37.
- [11] Malekzadeh Shafaroudi A., Karimpour M. H., Golmohammadi A., "Zircon U-Pb geochronology and petrology of intrusive rocks in the C-north and Baghak districts, Sangān iron mine, NE Iran", Journal of Asian Earth Sciences 64 (2013) 256–271.
- [12] Mazaheri S. A., "Petrological studies of skarns from Marulan South, New South Wales Australia and Sangān, Khorasan, Iran", Ph. D. thesis, University of Wollongong, New South Wales Australia (1995).
- [13] Mazhari N., Malekzadeh Shafaroudi A., Ghaderi M., Star Lackey J., Lang Farmer G., Karimpour M.H., "Geochronological and Geochemical Characteristics of Fractionated I-type Granites Associated with the Skarn Mineralization in the Sangān Mining Region, NE Iran", Ore Geology Reviews 84 (2017) 116-133.
- [14] Ghasemi Siani M., Mehrabi B., "Mineralogy and mineral chemistry of silicate mineral of Dardvay Fe skarn ore deposit (Sangān mining area, NE Iran)", Iranian Journal of Crystallography and Mineralogy 26 (4) (2019) 871-884.
- [15] Tale Fazel E., Mehrabi B., Khakzad A., Kianpour R., "Stages and Mineralization Conditions of Dardvay Iron Skarn Based on Mineralogy and Fluid Inclusion Evidences, Sangān Area (Khorasan Razavi)", Scientific Quarterly Journal, Geosciences 81 (2011) 349–360.
- [16] Boomeri M., "Petrography and geochemistry of the Sangān iron skarn deposit and related

- [39] Krogh E.J., "The garnet-clinopyroxene Fe-Mg geothermometer-a reinterpretation of existing experimental data", Contribution Mineralogy and Petrology 99 (1988) 44–48.
- [40] Ai Y., "A revision of the garnet-clinopyroxene Fe^{2+} -Mg exchange geothermometer", Contribution Mineralogy and Petrology 115 (1994) 467–473.
- [41] Krogh-Ravna E., "The garnet-clinopyroxene Fe^{2+} -Mg geothermometer: an updated calibration", Journal of Metamorphic Geology 18 (2000) 211–219.
- [42] Saxena S.K., "Garnet-clinopyroxene geothermometer", American Mineralogist 53 (1979) 1674–1695.
- [43] Pattison D.R.M., Newton R.C., "Reversed experimental calibration of the garnet-clinopyroxene Fe-Mg exchange thermometer", Contribution Mineralogy and Petrology 101 (1989) 87–103.
- [44] Berman R.G.L., Aranovich Ya., Pattison D.R.M., "Reassessment of the garnet-clinopyroxene Fe-Mg exchange thermometer: II. Thermodynamic analysis", Contribution Mineralogy and Petrology 119 (1995) 30–42.
- [45] Nakamura D., Svojtka M., Naemura K., Hirajima T., "Very high-pressure (>4 GPa) eclogite associated with the Moldanubian Zone garnet peridotite (Nové Dvory, Czech Republic)", Journal of Metamorphic Geology 22 (2004) 593–603.
- [46] Sengupta P., Dasgupta S., Bhattacharya P.K., Hariya Y., "Mixing behavior in quaternary garnet solid solution and an extended Ellis and Green garnet-clinopyroxene geothermometer", Contribution Mineralogy and Petrology 103 (1989) 223–227.
- [47] Nakamura D., Hirajima T., "Experimental evaluation of garnet-clinopyroxene geothermometry as applied to eclogites", Contributions to Mineralogy and Petrology 150 (2005) 581–588.
- [48] Ferry J. M., "Role of fluid flow in the contact metamorphism of siliceous dolomiticimestones", American Mineralogist (1994) 79, 719–736.
- [49] Bowman J.R., "Basic Aspects and Applications of Phase Equilibria in the Analysis of Metasomatic Ca-Mg-Al-Fe-Si Skarns: In Mineralized Intrusion-Related Skarn Systems (D.R. Lentz, ed.)", Mineral Association of Canada, Short Course 26 (1998a) 1–49.
- [50] Ernst W.G., "Petrologic phase equilibria", W.H. Freeman, San Francisco (1976) 333p.
- Lentz, ed.)", Mineral Association of Canada, Short Course 26 (1998a) 1–49.
- [28] Zanganeh Ghasemabadi, M., Boomeri M., Biabangard H., "Investigation of skarn formation using petrographic, mineral chemistry and fluid inclusion data, south west of Khaf, (southeast of Razavi Khorasan Province)", Iranian Journal of Crystallography and Mineralogy 25 (1) (2017) 35–48.
- [29] Whitney D.L., Evans B.V., "Abbreviations for names of rock-forming minerals", American Mineralogist 95 (2010) 185–187.
- [30] Elkins L.T., Grove T.L., "Ternary feldspar experiments and thermodynamic models", American Mineralogist 75 (1990) 544–559.
- [31] Green N.L., Usdansky S.I., "Ternary feldspar mixing relations and thermobarometry", American Mineralogist, 71 (1986) 1100–1108.
- [32] Lindsley D.H., Nekvasil H., "A ternary feldspar model for all reasons (abs)", Eos, Transactions, American Geophysical Union 70 (1989) 506–507.
- [33] Ellis D. J., Green D. H., "An experimental study of the effect of Ca upon garnet-clinopyroxene Fe-Mg exchange equilibria", Contribution Mineralogy and Petrology 71 (1979) 13–22.
- [34] Powell R., "Regression diagnostics and robust regression in geothermometer/geobarometer calibration: the garnet clinopyroxene geothermometer revisited", Journal of Metamorphic Geology 3 (1985) 231–243.
- [35] Ganguly J., "Garnet and clinopyroxene solid solutions, and geothermometry based on Fe Mg distribution coefficient", Geochimica et Cosmochimica Acta 43 (1979) 1021–1029.
- [36] Ganguly J., Cheng W., Tirone M., "Thermodynamics of aluminosilicate garnet solid solution: new experimental data, an optimized model, and thermometric applications", Contribution Mineralogy and Petrology 126 (1996) 137–151.
- [37] Nakamura D., "A new formulation of garnet-clinopyroxene geothermometer based on accumulation and statistical analysis of a large experimental data set", Journal of Metamorphic Geology 27 (2009) 495–508.
- [38] Råheim A., Green D.H., "Experimental determination of the temperature and pressure dependence of the Fe-Mg partition coefficient for coexisting garnet and clinopyroxene", Contribution Mineralogy and Petrology 48 (1974) 179–203.

- [56] Gerya T.V., Perchuk L.L., Triboulet C., Audren C., Sez'ko A.I., "Petrology of the Tumanshet Zonal Metamorphic Complex, Eastern Sayan", *Petrology* 5/6 (1997) 503–533.
- [57] Chatelina M., Nieva D., "A chlorite solid solution geothermometry, the los Azufrez geothermal system (Mexico)", *Contribution to Mineralogy and Petrology* 91 (1985) 235–244.
- [58] Chatelina M., "Cation state occupancy in chlorites and illites as a function of temperature", *Clay minerals*, 23 (1988) 471–485.
- [59] Jowett E.C., "Fitting iron and magnesium into the hydrothermal chlorite geothermometer", GAC/MAC/SEG Joint Annual Meeting (Toronto). Program with Abstracts 16 (1991) 62p.
- [60] Kranidiotis P., MacLean WH., "Systematics of chlorite alteration and the Phelps Dodge massive sulfide deposit, Matagami, Quebec", *Economic Geology* 82 (1987) 1898–1992.
- [61] Powell M., Powell R., "Plagioclase-alkali-feldspar geothermometry revisited", *Mineralogical Magazine* 41 (1977) 253–256.
- [51] Barnes H.L., "Solubilities of ore minerals, in geochemistry of hydrothermal ore deposits", 2th edition (H. L. Barnes, ed.), John Wiley & sons, New York (1979) 404–460.
- [52] Einaudi M.T., Meinert L.D., Newberry R.J., "Skarn deposits", *Economic geology* 75th Anniversary (1981) 317–391.
- [53] Smirnov V.I., "Skarn deposits, in geology of mineral deposits", MIR publication, Moscow (1976) 156–188.
- [54] Schulz B., Triboulet C., Audren C., "Microstructures and mineral chemistry in amphibolites from the western Tauern Window (Eastern Alps) and P-T-deformation paths of the Alpine greenschist-amphibolite facies metamorphism", *Mineralogical Magazine* 59 (1995) 641–659.
- [55] Zenk M., Schulz B., "Zoned Ca-amphiboles and related P-T evolution in metabasites from the classical Barrovian metamorphic zones in Scotland", *Mineralogical Magazine* 68 (2004) 769–786.